

# Adaptivna ekvalizacija »na slepo«: od neurona Bell-Sejnowski tipa do Soft-DFE rešenja

Vladimir R. Krstić, Member, IEEE i Miroslav L. Dukić, Member, IEEE

**Sadržaj** — Ovaj rad prikazuje najznačajnije rezultate istraživanja problema DFE ekvalizacije »na slepo«, tj. bez trening sekvence. Posebno, predmet ovog rada je rekurzivni deo DFE ekvalizatora zasnovan na principima učenja neurona Bell-Sejnowski tipa koji maksimizira entropiju sopstvenog izlaza. Performanse novog rekurzivnog filtra kao i kompletног DFE ekvalizatora, koji je označen kao Soft-DFE, verifikovane su metodom softverskih simulacija u ambijentu QAM sistema sa višestrukom propagaciom.

**Ključne reči** — Ekvalizacija na slepo, blind ekvalizacija DFE ekvalizacija, neuron Bell-Sejnowski tipa.

## I. UVOD

**A**DAPTIVNA ekvalizacija »na slepo« ili blind ekvalizacija, kako se uobičajeno zove u anglosaksonskoj literaturi, označava metode i algoritme za ekvalizaciju telekomunikacionog kanala sa neminimalnom fazom bez primene bilo kakve posebne trening sekvenca koja je poznata na strani prijemnika. Generalno, prednost ekvalizacije na slepo u odnosu na klasičnu ekvalizaciju sa eksplisitim treningom je u tome što sekvenca za trening ne nosi koristan informacioni sadržaj pa kao takva degradira efektivan protok sistema. Posebno, ekvalizacija na slepo dolazi do izražaja kod sistema gde primena trening sekvence nije moguća [1].

Ovaj rad prikazuje najznačajnije rezultate istraživanja blind DFE ekvalizacije (*decision feedback equalization - DFE*) primenom takozvane »self-optimized« DFE šeme [2] i algoritama zasnovanih na teoriji informacija (*information theoretic approach - IT*) [3], [4]. Pojedinačni rezultati ovih istraživanja objavljeni su u većem broju radova u periodu 2003-2009, a zatim sublimirani u doktorskoj disertaciji prvog autora ovog rada [5].

IT princip blind dekonvolucije/ekvalizacije prvi su definisali Bell i Sejnowski 1995 u radu »*An information-maximisation approach to blind separation and blind deconvolution*« [3]. Nešto kasnije, Principe sa saradnicima [4] je postavio generalni teorijski okvir za identifikaciju nepoznatih parametara sistema zasnovan na teoriji

Rad je podržan od strane Ministarstva za nauku i tehnološki razvoj Republike Srbije, projekat TR-11040.

V. R. Krstić, Institut Mihajlo Pupin, Volgina 15, 11060 Beograd, Srbija; (e-mail: vladak@kondor.imp.bg.ac.rs).

M. L. Dukić, Elektrotehnički fakultet u Beogradu, Bulevar kralja Aleksandra 73, 11120 Beograd, Srbija; (e-mail: dukić@ef.rs).

informacija. Ukratko, IT princip razmatra ekvalizaciju kanala sa neminimalnom fazom kao proces redukcije redundanse u zajedničkoj informaciji  $I(y_1, \dots, y_N)$  vremenski-diskretnog niza slučajno promenljivih  $y_n$  na izlazu iz ekvalizatora. Metod koji su predložili Bell i Sejnowski (B-S) vrši redukciju ove redundanse kroz proces iterativne maksimizacije Shannon-ove združene entropije izlaza ekvalizatora, a onda i redukciju intersimbolske interferencije (ISI).

Kao što je poznato, dominantan problem blind DFE ekvalizacije je fenomen propagacije grešaka koji se inherentno javlja odmah posle detekcije prijemnog signala i na taj način obstruira početak stabilne konvergencije nelinearnog *decision feedback* (FBF) filtra, a onda i kompletног DFE ekvalizatora. Jedna od nekoliko poznatih metoda [6]-[8] kako da se izbegne, tj. »preskoči«, efekat propagacije grešaka je primena »*self-optimized*« DFE šeme [2] koja uspešno kombinuje Gadard-ev *constant modulus* (CMA) algoritam [9] i tradicionalne algoritme LMS tipa sa DFE strukturom koja se adaptira u zavisnosti od uslova propagacije signala (u daljem tekstu SO-DFE). Mada SO-DFE funkcioniše korektno, efektivne performanse ekvalizacije ostvarene na ovaj način nisu tako impresivne zbog toga što FBF filter, koji se adaptira pomoću LMS algoritma, ne uspeva da kompenzira duboke nule u spektru prijemnog signala. To praktično znači da metod optimizacije FBF filtra zasnovan na kriterijumu minimalne srednje kvadratne greške (MMSE) ne predstavlja adekvatan izbor kod sistema koje karakteriše izražena frekvencijska selektivnost kanala. Opisan nedostatak FBF filtra može se značajno ublažiti primenom odgovarajuće entropijske mere izlaza FBF filtra, tj. primenom kriterijuma koji maksimizira združenu entropiju (*joint entropy maximization*-JEM) sekvence na izlazu. Dosadašnji rezultati istraživanja Soft-DFE sa FBF filtrom entropijskog tipa (*soft decision feedback* -SFBF) potvrđili su superiornost novih stohastičko-gradijentnih algoritama JEM tipa u odnosu na odgovarajuće LMS algoritme [10], [5].

Ovaj rad pored uvoda ima 5 sekcije. U sekciji II su opisani principi funkcionisanja SO-DFE šeme kao i struktura i metod optimizacije novog Soft-DFE ekvalizatora. U sekciji III je opisan B-S metod učenja sigmoidalne neuronske jedinice, a zatim je u sekciji IV dat prikaz ključnih karakteristika novih algoritama JEM tipa. Sekcija V prikazuje analizu eksperimentalnih rezultata optimi-

zacija JEM algoritama kao i rezultate uporednog testa dva rešenja ekvalizatora, Hard-DFE i Soft-DFE, u slučaju kanala sa višestrukom propagacijom.

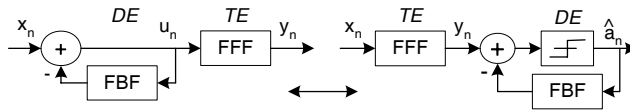
## II. STRUKTURA SOFT-DFE EKVALIZATORA

### A. Princip funkcionisanja SO-DFE šeme

Funkcionisanje SO-DFE šeme zasnovano je na dva principa: principu adaptacije DFE strukture i principu podele kompleksnog zadatka blind ekvalizacije na nekoliko jednostavnijih i nezavisnih podzadataka koji se izvršavaju sukcesivno i nezavisno [2].

**Adaptacija strukture MMSE DFE.** Adaptivnost strukture SO-DFE zasnovana je na pretpostavci da je optimalan MMSE DFE (MMSE-DFE) kanonična forma koja se sastoji od dva dela: antikauzalnog linearogn ekvalizatora (*feedforward filter-FFF*) i striktno kauzalnog monik filtra FBF [11]. Ako pretpostavimo da su detektovane vrednosti simbola korektne, tj.  $\hat{a}_n = a_n$ , i da je spektar snage prijemnog signala konstantan, FFF i FBF mogu menjati uzajamni položaj kao slici 1 koja ilustruje transformaciju MMSE-DFE u odgovarajući linearan ekvalizator MMSE-LE i obrnuto. Drugim rečima, ako je amplitudska karakteristika kanala konstantna onda su performanse MMSE<sub>LE</sub> i MMSE<sub>DFE</sub> jednake. To praktično znači da je vektor koeficijenata FBF filtra u MMSE-LE upravo onaj vektor koji odgovara FBF u MMSE-DFE kada se MMSE-LE »sviće» u MMSE-DFE.

**Princip podele zadatka.** MMSE-LE prikazan na slici 1 se satoji od kaskade dekorelatora (*DE*) i transverzalnog ekvalizatora (*TE*) pri čemu je njihov uzajamni položaj irelevantan u stacionarnom stanju. Međutim, ako kaskadu *DE+TE* posmatramo kao LE ekvalizator koji se adaptira na slepo onda *DE* ima zadatak da u maniru linearne predikcije izvrši kondicioniranje korelacione matrice kanala i na taj način olakša blind adaptaciju *TE* dela koji kompenzira izobličenja faze. Ova situacija ilustruje princip podele zadatka blind ekvalizacije na dva ili više linearnih transformatora signala koji su pravilno pozicionirani.

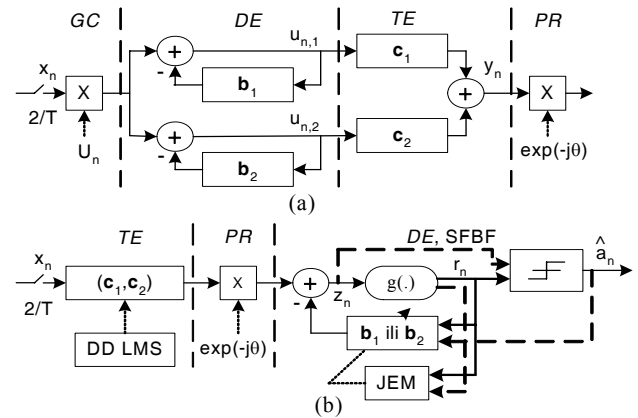


Sl. 1. Princip uzajamne transformacije MMSE-DFE i MMSE-LE

### B. Opis Soft-DFE ekvalizatora

Soft-DFE kombinuje nekoliko kriterijuma adaptacije u toku tri režima rada. U režimu blind akvizicije ili blind režimu, Soft-DFE deluje kao 2/T-FSE (frakcioni ekvalizator, T je period simbola podataka) koji se sastoji od četiri adaptivna linearna transformatora signala – kola za kontrolu pojačanja (*GC*), dekorelatora (*DE*), frakcionog ekvalizatora (*TE*) i estimatora faze nosioca (*PR*) – gde *DE* i *TE* vrše najznačajnije zadatke ekvalizacije na slepo, slika 2a. Dekorelator *DE*, koji se sastoji od dva nezavisna

rekurzivna filtra za »beljenje« sa vektorima koeficijenata  $\mathbf{b}_i$ ,  $i = 1, 2$ , kompenzira izobličenja amplitudske karakteristike kanala dok ekvalizator *TE*, koji je definisan sa vektorima koeficijenata  $\mathbf{c}_i$ , kompenzira efektivno fazno izobličenje kanala i dekorelatora zajedno. Adaptacija *DE* i *TE* je nezavisna i ostvaruje se primenom JEM i CMA algoritama, respektivno. U sledećoj fazi adaptacije, koja je označena kao meki prelazni režim, jedan od dva filtra za beljenje – selektovan na osnovu energije signala – postaje SFBF koji nastavlja da se adaptira pomoću algoritma JEM tipa, dok *TE* menja CMA algoritam za *decision-directed* LMS (DD-LMS), slika 2b. Konačno, kada se »oko« signala otvoru dovoljno dobro, SFBF prelazi u stacionarni režim rada sa DD-LMS algoritmom. Soft-DFE ostaje u stacionarnom režimu sve dotle dok se uslovi propagacije signala ne degradiraju tako dramatično da ekvalizator prestane da funkcioniše i onda mora da pređe u blind režim. Ovde treba istaći da je primena novih algoritama JEM tipa u blind i mekom prelaznom režimu ključna karakteristika inoviranog Soft-DFE rešenja. Kod kanala sa ekstremnom ISI, ovi robusni algoritmi sprečavaju pojavu fenomena propagacije grešaka u kritičnoj fazi prelaza ekvalizatora iz LE u klasičnu DFE šemu.



Sl. 2. Soft-DFE u (a) blind režimu i (b) mekom prelaznom režimu. SFBF šema je data u osnovnoj (pone bold linije) i modifikovanoj (isprekidane bold linije) vatijanti.

## III. NEURON BELL-SEJNOWSKI TIPOA

Posmatrajmo B-S neuronsku jedinicu sa jednim ulazom i jednim izlazom na slici 3 koja je opisan sledećim relacijama

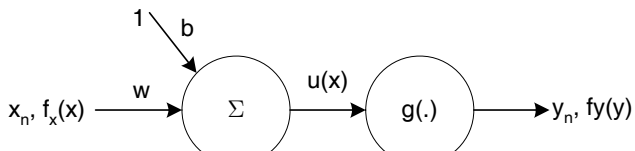
$$y = g(u), \quad u = wx + b \quad (1)$$

gde je  $g(\cdot)$  sigmoidalna striktno monotono rastuća funkcija i  $u$  je ulazna mreža neurona definisana parametrima  $w$ -pojačanje i  $b$ -bias. Takođe, neka je funkcija  $g(\cdot)$  odabrana tako da predstavlja kumulativnu funkciju raspodele verovatnoće ulaznog procesa  $x(t)$ , tj.

$$y = g(u) \equiv \int_{-\infty}^u f_x(\xi) d\xi \quad (2)$$

gde je  $f_x(x)$  funkcija raspodele gustine verovatnoće (pdf) procesa na ulazu u neuron. Parametri  $w$  i  $b$  mogu se podesiti tako da neuron opisan relacijama (1) i (2) izvrši

transfer informacija (od ulaza do izlaza) sa maksimalnim učinkom, tj. da maksimizira informaciju.



3. B-S model neurona sa jednim ulazom i jednim izlazom

Ovu ideju o maksimizaciji transfera informacije pomoću sigmoidalnog neurona, koja je poznata kao InfoMax princip [3], Bell i Sejnowski su implementirali metodom iterativnog učenja neurona. Ukratko, rezultati njihovih istraživanja mogu se sumirati na sledeći način:

1. Kriterijum maksimalnog transfera informacija kroz neuron ekvivalentan je kriterijumu maksimalne entropije izlaza neurona.
2. Podešavanje parametara  $w$  i  $b$  može se izvršiti metodom stohastičko gradijentne adaptacije koja maksimizira Shannon-ovu entropiju izlaza neurona.
3. Proces maksimizacije entropije istovremeno je i proces redukciju međusobne informacije  $I(y_1, \dots, y_N)$  izlaza neurona  $y_n$ , a onda i redukcije ISI.

Za diferencijalnu entropiju izlaza neurona  $H_E(w, b)$ , koja je data sa

$$H_E(w, b) = E \left[ \ln \left| \frac{\partial y}{\partial x} \right| \right] - E \left[ \ln f_x(x) \right] \quad (3)$$

stohastičko-gradijentno pravilo adaptacije parametara neurona definisano je rekurzivnim relacijama

$$w_{n+1} = w_n + \mu_w \Delta w_n \quad (4)$$

$$b_{n+1} = b_n + \mu_b \Delta b_n \quad (5)$$

gde su  $\mu_w$  i  $\mu_b$  mali pozitivni brojevi i  $\Delta w$  i  $\Delta b$  su gradijenti dati sa

$$\Delta w \propto \frac{\partial H_E}{\partial w} = \frac{\partial}{\partial w} \left( \ln \left| \frac{\partial y}{\partial x} \right| \right) = \left( \frac{\partial y}{\partial x} \right)^{-1} \frac{\partial}{\partial w} \left( \frac{\partial y}{\partial x} \right) \quad (6)$$

$$\Delta b \propto \frac{\partial H_E}{\partial b} = \frac{\partial}{\partial b} \left( \ln \left| \frac{\partial y}{\partial x} \right| \right) = \left( \frac{\partial y}{\partial x} \right)^{-1}. \quad (7)$$

Efektivno, B-S pravilo učenja definisano relacijama (4) – (7) deluje na sledeći način:

1. Relacija (4) podešava nagib funkcije mapiranja tako da se njen prvi izvod prilagodi pdf funkciji ulaza u smislu definicije (2).
2. Relacija (5) podešava bias  $b$  tako da se delovi funkcije mapiranja sa najvećim nagibom poklapaju sa delovima pdf funkcije ulaznog procesa sa najvećom gustinom.

Treba zapaziti da je B-S pravilo adaptacije neurona izvedeno pod pretpostvkom da postoji delimično poznавање pdf ulaznog procesa čime je praktično olakšan izbor funkcije mapiranja  $g(\cdot)$ . Međutim, u praksi to nije uvek moguće. Generalno, jedan od principa IT učenja je upravo pretpostavka o nepostojanju bilo kakvog *a priori* modela pdf ulaznog procesa [4]. To praktično znači da neuron uči na osnovu raspoloživih podataka na svom ulazu bez

prethodnog poznавањa njove pdf funkcije. Ova okolnost, generalno, otežava primenu B-S neurona. Problem izbora odgovarajuće funkcije mapiranja posebno dolazi do izražaja kod procesiranja signala čiji su odmerci kompleksne promenljive kao što je to slučaj kod dvodimenzionalnih telekomunikacionih signala [12], [13], [5].

#### IV. NOVI ALGORITMI JEM TIPA

##### A. SFBF filter realizovan primenom B-S neurona

Posmatrajmo model telekomunikacionog sistema sa SFBF filtrom (ekvalizatorom) na prijemu koji je realizovan primenom B-S neurona kao na slici 2b (osnovni model). Prepostavimo da je sistem definisan na sledeći način:

- $\{a_n\}$  je izvor podataka simbola koji predstavljaju vremenski niz i.i.d. slučajno promenljivi koje su generisane u intervalima  $t = nT$ ,
- $\{h_i\}$  je impulsni odziv nepoznatog vremenski-invarijantnog kanala koji je definisan vektorom  $\mathbf{h}_n = [1, h_1, \dots, h_L]^T$ ,
- filter u rekurzivnoj grani SFBF ekvalizatora je striktno kauzalan FIR filter definisan vektorom koeficijetima  $\mathbf{b}_n = [b_1, \dots, b_N]^T$ ,
- $g(\cdot)$  je kontinualno-diferencijabilna nelinearnost čiji su ulaz i izlaz definisani sa  $z_n$  i  $r_n = g(z_n)$ , respektivno, i gde  $z_n$  predstavlja funkciju mreže ekvalizatora koja je data sa

$$z_n = a_n + \sum_{i=1}^L h_i a_{n-i} + \sum_{j=1}^N b_j g(z_{n-j}). \quad (8)$$

U gornjoj relaciji prva dva člana predstavljaju izlaz kanala, gde su  $a_n$  i  $\sum_{i=1}^L h_i a_{n-i}$  željeni simbol i signal *postcursor* ISI interferencije za  $t = nT$ , respektivno, dok je treći član estimirana vrednost postkursor ISI na osnovu prethodno detektovanih simbola.

Ako SFBF filter posmatramo na klasičan način, tj. kao detektor simbola sa povratnom petljom, onda je  $g(\cdot)$  estimator/detektor simbola  $g(z_n) = r_n$  generisanih na predaji. Dalje, ako prepostavimo da su detektovane vrednosti simbola na izlazu korektne, tj.  $r_{n-j} = a_{n-j}$ ,  $j = 1, \dots, N$ , onda se može pokazati da je Shannon-ova združena entropija na izlazu SFBF [14] data sa

$$J_{EM}(\mathbf{b}_n) = E \left[ \ln \left| \frac{\partial r_n}{\partial z_n} \right| \right] \quad (9)$$

gde je  $E$  operator statističkog očekivanja. Relacija (9) predstavlja JEM kriterijumsku funkciju za SFBF filter.

U vezi sa relaciom (9) treba zapaziti sledeće:

1.  $J_{EM}(\mathbf{b}_n)$  ne zavisi direktno od primenjene nelinearnosti  $g(\cdot)$  već od njenog izvoda  $g'$ .

2.  $J_{EM}(\mathbf{b}_n)$  je *realna* funkcija absolutne vrednosti argumenta.

*Komentar u vezi sa tačkom 2:* Kriterijum (9) je izведен za realne promenljive (ulazni signal, parametre mreže i nelinearnost) [14], međutim, on se može primeniti i u kompleksnom domenu zato što je kriterijum  $J_{EM}(\mathbf{b})$  realna funkcija absolutne vrednosti argumenta. Dakle, ako  $J_{EM}(\mathbf{b})$  razmatramo u kompleksnom domenu onda imamo problem optimizacije SFBF filtra za slučaj gde su simboli podataka  $a_n$ , ulazni signal  $x_n$ , koeficijenti  $\{b_j\}$  i nelinearnost  $g(\cdot)$  kompleksne veličine. Drugim rečima, pred nama je problem proširenja SFBF ekvalizatora u domen kompleksne slučajno promenljive što je od primarnog interesa za ekvalizaciju telekomunikacionog kanala.

### B. Nova kompleksna funkcija mapiranja

Neka je kompleksna funkcija mapiranja SFBF filtra data sa

$$g(z) = z(1 + \beta|z|^2) \quad (10)$$

gde je  $\beta$  realna pozitivna konstanta. Razmotrimo karakteristična svojstva ove funkcije sa stanovišta mapiranja kružno-simetričnih konstalacija kao što su m-PSK i m-QAM signali:

1. Funkcija (10) mapira bilo koju tačku

$$z = z_R + iz_I = (z_R, z_I) \text{ u kompleksnoj ravni u tačku}$$

$$g(z) = \left( z_R \left( 1 + \beta |z|^2 \right), z_I \left( 1 + \beta |z|^2 \right) \right) \text{ koja ima isti fazni ugao kao } z; \text{ indeksi } R \text{ i } I \text{ označavaju realne i imaginare komponente kompleksne promenljive, respektivno.}$$

2. Moduo funkcije (10) je paraboloid čije su projekcije horizontalnih preseka koncentrični krugovi sa središtem u tački  $(0,0)$ .

3. U vezi sa 1.,  $\beta$  varira ulazno-izlazno mapiranje tako što na isti način menja i realni i imaginarni deo funkcije.

*Komentar karakteristika funkcije (10):* 1) Ova funkcija niti favorizuje niti vrši diskriminaciju bilo kog simbola u konstalaciji. 2) Moduo je lociran u tački  $(0,0)$ , tj. središtu konstalacije tako da nije potreban bias parametar u funkciji mreže. 3) Parametar  $\beta$  ima osobinu da menja formu (nagib) nelinearnosti. Ova osobina funkcije mapiranja u strukturi SFBF predstavlja svojstvo neurona da menja karakteristiku transformacije pdf funkcije ulaza. Zbog toga je parametar  $\beta$  iskorišćen kao »alat« za optimizaciju karakteristika konvergencije algoritama JEM tipa.

### C. Kompleksni algoritmi JEM tipa

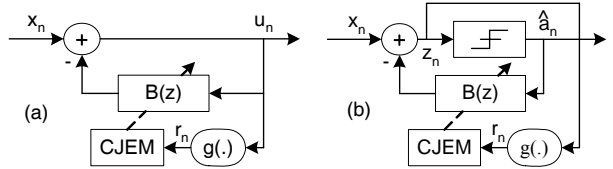
Kompleksan stohastičko gradijentan algoritam JEM tipa izведен za funkciju (10) [15] dat je sa

$$b_{j,n+1} = b_{j,n} - \mu_{JEM} z_n \left( 1 - \beta |z_n|^2 \right) r_{n-j}^*, \quad j = 1, \dots, N \quad (11)$$

gde je korak adaptacije  $\mu_{JEM}$  mali pozitivan broj koji praktično ne zavisi od  $\beta$ . Ovaj algoritam, koji je

označen sa CJEM, predstavlja osnovno pravilo adaptacije SFBF filtra.

Specifičnost algoritma (11) je prisustvo parametra  $\beta$  koji ima zadatku da menja karakteristike konvergencije algoritma. Ako član  $\varepsilon_n = z_n \left( 1 - \beta |z_n|^2 \right)$  posmatramo kao tekuću vrednost signala greške izlaza SFBF ekvalizatora onda je jasno da se promenom  $\beta$  može menjati kvalitet greške, a onda i karakteristike konvergencije vektora  $\mathbf{b}_n$ . Ova mogućnost parametarskog podešavanja karakteristika konvergencije CJEM algoritma jasno ukazuje da parametar  $\beta$  treba posebno optimizirati da bi se ostvario maksimalan učinak ekvalizatora.



Sl. 4. Dve modifikacije SFBF filtra: (a) CJEM-W prediktor i (b) DD-CJEM feedback ekvalizator.

**Dve varijante CJEM algoritma.** Kao što je istaknuto na početku, SFBF filter je ključna komponenta našeg Soft-DFE ekvalizatora koja se adaptira u zavisnosti od uslova propagacije kanala: u blind režimu SFBF se transformiše u linearan dekorelator prijemnog signala, a zatim, kada Soft-DFE pređe u meki prelazni režim odnosno režim praćenja, SFBF se transformiše nazad u nelinearan ekvalizator za poništavanje postcursor ISI. Ova situacija bila je motiv da se osnovni model SFBF filtra na slici 2b, a zatim i njegov algoritam CJEM (11) modifikuju na način koji će obezbediti mek i pouzdan prelaz ekvalizatora iz stanja blind akvizicije u stacionarno stanje. Na slici 4 je prikazana modifikacija osnovnog modela SFBF filtra u dekorelator odnosno nelinearan ekvalizator. U slučaju dekorelatora, koji predstavlja linearan rekurzivan *all-pole* filter, funkcija mapiranja je ispuštena kao posledica linearizacije filtra, dok je u slučaju ekvalizatora ona zamenjena kolom za klasičnu «tvrdu» detekciju simbola.

Ovu modifikaciju strukture SFBF filtra prati sledeća modifikacija CJEM algoritma:

1. CJEM-W je algoritam prilagođen strukturi dekorelatora na slici 4a

$$b_{j,n+1} = b_{j,n} - \mu_W u_n \left( 1 - \beta_W |u_n|^2 \right) u_{n-j}^*, \quad j = 1, \dots, N \quad (12)$$

2. DD-CJEM je algoritam prilagođen strukturi ekvalizatora na slici 4b

$$b_{j,n+1} = b_{j,n} - \mu_D z_n \left( 1 - \beta_D |z_n|^2 \right) \hat{a}_{n-j}^*, \quad j = 1, \dots, N \quad (13)$$

gde su  $\mu_W$  i  $\mu_D$  označavajuće korake adaptacije, dok su  $\beta_W$  i  $\beta_D$  parametri koji su iskorišćeni za optimizaciju njihovih karakteristika konvergencije.

Ako članove  $\varepsilon_n(\beta_W) = u_n \left( 1 - \beta_W |u_n|^2 \right)$  i  $\varepsilon_n(\beta_D) = z_n \left( 1 - \beta_D |z_n|^2 \right)$  u (12) i (13), respektivno,

posmatramo kao odgovarajuće signale greške, onda je jasno da kvalitet ovih grešaka direktno zavisi od izbora parametara  $\beta = \{\beta_W, \beta_D\}$ . To znači da se kod primene parametarskih funkcija mapiranja, kao što je funkcija (10), prirodno javlja problem optimizacije parametara.

**Metod optimizacije**  $\beta = \{\beta_W, \beta_D\}$ . Generalno, parametri  $\beta = \{\beta_W, \beta_D\}$  mogu biti predmet adaptivnog podešavanja koje će garantovati optimalnost njihovih vrednosti. S druge strane, primena dodatnih algoritama sa njihovo podešanje usporava proces adaptacije SFBF filtra i povećava kompleksnost implementacije kompletne ekvalizatora. Zbog toga je u razvoju Soft-DFE rešenja primjenjen koncept selekcije fiksnih vrednosti  $\beta = \{\beta_W, \beta_D\}$  koje u statističkom smislu maksimiziraju entropiju izlaza SFBF za primenjenu konstalaciju signala. U cilju realizacije ove ideje razvijen je poseban metod optimizacije parametara  $\beta = \{\beta_W, \beta_D\}$  koji je u potpunosti realizovan primenom softverskih simulacija. Ukratko, metod optimizacije parametra  $\beta_W$  može se opisati na sledeći način: uticaj  $\beta_W$  je posmatran na izlazu FSE-CMA ekvalizatora (ekvalizator TE na slici 2a) koji maksimizira apsolutnu kurtosis vrednost promenljive  $y_n$ . U tom smislu, normalizovan kurtosis (njegova apsolutna vrednost) može se estimirati pomoću sledećih formula

$$K_s = \frac{1}{2} \sum_{i=1}^2 K_i \quad \text{i} \quad K_i = \frac{K(y_{i,n})}{K(a_n)} = \left[ \|\mathbf{c}_i\|_4 / \|\mathbf{c}_i\|_2 \right]^4 \quad \text{gde je} \\ \|\mathbf{c}_i\|_q = \left[ \sum_{k=1}^L |c_{i,k}|^q \right]^{1/q}. \quad (14)$$

Metod za estimaciju kurtosis vrednosti (14) zasnovan je na jedan-prema-jedan korespondenciji između stacionarnih tačaka u kompozitnom kanal+ekvalizator sistemu i odgovarajućih tačaka u sistemu koeficijenata ekvalizatora gde je L dovoljno veliko [16].

Uticaj parametra  $\beta_D$  na DD-CJEM algoritam i efektivno na konvergenciju Soft-DFE, ocenjen je na osnovu učestalosti pogrešno detektovanih simbola (*symbol error rate - SER*). Estimat SER indeksa je dobijen na osnovu broja pogrešno detektovanih simbola u mekom prelaznom režimu. Kao što je ranije istaknuto, meki prelazni režim karakteriše velik broj grešaka, a onda i velika verovatnoća pojave fenomena propagacije grešaka. Zbog toga SER indeks predstavlja dobru meru kako  $\beta_D$  utiče na propagaciju grešaka u prelaznom režimu.

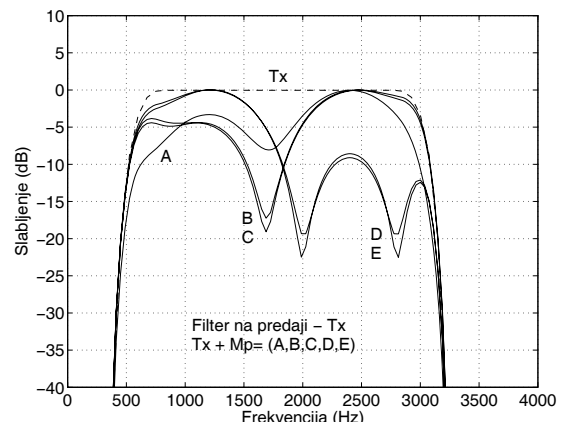
## V. EKSPERIMENTALNI REZULTATI: OPTIMIZACIJA I PERFORMANSE

Rezultati eksperimentalnih istraživanja organizovani su formi nekoliko testova koji obuhvataju merenje  $K_s$  indeksa, SER i efektivne konvergencije MSE izlaza ekvalizatora. Takođe, izvršeno je uporedno testiranje MSE konvergencije Soft-DFE i SO-DFE (koji je označen kao Hard-DFE). Jedina razlika između ova dva rešenja

ekvalizatora je metod adaptacije njihovih rekurzivnih delova: Soft-DFE koristi algoritme JEM tipa a Hard-DFE algoritme LMS tipa [2]. Simulacije su izvršene za feding kanale sa šumom gde je odnos signal-šum 25 dB. Kanal je dizajniran na osnovu modela kanala sa tri putanje [17] i integrisan je u filter na predaji, čiji je impulsni odziv  $p(t)$  kvadratni koren podignutog kosinusa sa faktorom zaobljenja 0.12. Impulsni odziv kompozitnog kanala (filter + kanal) dat je sa

$$h(t) = p(t)W(t) + a_1 p(t-d_1)W(t-d_1) \\ + a_2 p(t-d_2)W(t-d_2) \quad (15)$$

gde je  $W(t)$  pravougaoni prozor širine  $\{-16T, 16T\}$  koji definiše trajanje impulsnog odziva filtra, i  $a_i$  i  $d_i$  su faktori propagacije  $i$ -tog kanala,  $i = 1, 2$ ;  $a_i$  je konstanta slabljenja i  $d_i$  je konstanta kašnjenja propagacije. Set vrednosti parametara propagacije za kanale Mp-(A,B,C,D,E) na slici 5 selektovan je tako da se ostvari postepeno pojačanje fedinga, a onda i povećanje nivoa ISI. Na primer, kanal Mp-A je umeren dok su kanali Mp-(D, E) ekstremno oštri. Oba ekvalizatora, Soft-DFE i Hard-DFE, imaju iste dužine impulsnog odziva i to  $L = 22$  i  $N = 6$  u TE i DE delu, respektivno. Inicijalna vrednost vektora koeficijenata TE filtra ima sve komponente jednake nuli osim centralne (referentne) koja ima jediničnu vrednost,  $c_{1,r} = c_{2,r} = 1$ . Simulacije su realizovane primenom Monte Karlo testova sa 200 odnosno 1000 nezavisnih prolaza.



Sl. 5. Karakteristike slabljenja MP kanala

Prag za koji ekvalizatori menjaju režim rada dat je u formi MSE izlaza; estimacija ovog praga definisana je rekurzivnom relaciom koja je data u [18]. Soft-DFE prelazi iz blind u meki preazni režim za vrednost praga 1.5 dB i onda počinje prelazni režim koji traje 2000 simbolskih intervala. Procena trajanja ovog vremenskog intervala izvršena je tako da se »oko« konstalacije signala otvoriti uspešno sa velikom verovatnoćom. Posle toga, SFBF adaptacija menja DD-CJEM algoritam za DD-LMS algoritam. S druge strane, Hard-DFE za vrednost gornjeg praga direktno prelazi iz režima blind akvizicije u konvencionalni DD-LMS režim praćenja; Hard-DFE nema prelazni režim.

### Test 1: Kurtosis indeks $K_S$ na kraju blind režima.

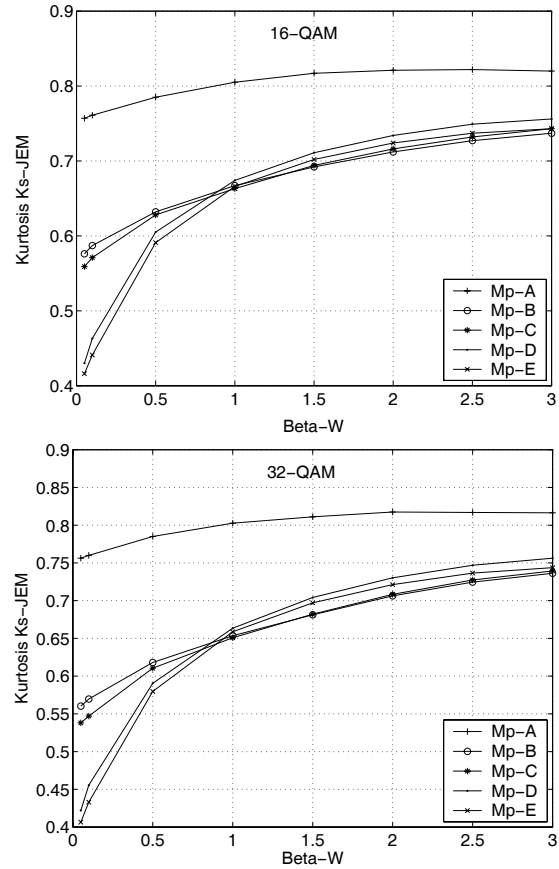
Promena kurtosis indeksa observirana je na izlazu FSE-CMA ekvalizatora na kraju blind akvizicije prijemnog signala sa ciljem da se proceni učinak CJEM-W algoritma, tj. uticaj parametra  $\beta_W$ . Na slici 6 su prikazane normalizovane kurtosis vrednosti  $K_{S,JEM}$  koje su ostvarene sa 16-QAM odnosno 32-QAM signalima za različite vrednosti  $\beta_W$ . Da se potsetimo, rast kurtosis indeksa pokazuje sposobnost JEM-W algoritma da kompenzira efekte frekvencijski-selektivnog fedinga. Na taj način se postiže kondicioniranje korelacione matrice signala na ulazu u FSE-CMA ekvalizator. Ovi rezultati pokazuju nekoliko bitnih karakteristika CJEM-W algoritma koje zaslužuju sledeći komentar :

1. Kurtosis krive  $K_{S,JEM}(\beta_W)$  za 16-QAM i 32-QAM signale praktično su jednake. Ova situacija je logična zato što ova dva signala imaju jednake (normalizovane) vrednosti statističke konstante za CMA algoritam [9], tj.  $R_{C,16} = R_{C,32} = 1.32$ .
2. Za vrednosti  $\beta_W < 0.8$  promena kurtosis vrednosti pokazuje izrazitu zavisnost od kanala. To znači da kod kanala sa veoma dubokim nulama u spektru (Mp-D,E) treba primeniti veće vrednosti parametra  $\beta_W$  da bi se postiglo željeno kondicioniranje kanala. Za vrednosti  $\beta_W > 0.8$  promene krtosis vrednosti postaju male i praktično nezavisne od kanala. Drugim rečima, za  $\beta_W > 0.8$  kondicioniranje je uspešno završeno kod svih kanala i dalje povećavanje  $\beta_W$  ne utiče bitno na porast kurtosis vrednosti. Konačno, može se proceniti da za  $\beta_W > 2.0$  kurtosis indeks ulazi u neku vrstu zasićenja.

Na osnovu ovih rezultata definisan je koristan opseg vrednosti  $\beta_W = \{0.8, 2.0\}$  za koji algoritam CJEM-W ostvaruje najveći učinak. Može se reći da ovaj test predstavlja prvu iteraciju u proceni korisnog opsega parametra  $\beta_W$  s obzirom da će definisan opseg biti predmet još jedne provere.

U cilju poređenja Soft-DFE i Hard-DFE rešenja, ovde su date odgovarajuće kurtosis vrednosti  $K_{S,LMS}$  za Hard-DFE. Za 16-QAM signal, ove vrednosti iznose (0.76, 0.59, 0.57, 0.47, 0.45) za Mp-(A,B,C,D,E) kanale, respektivno. Ako se ovi rezultati uporede sa rezultatima na slici 6 onda se može videti da su  $K_{S,LMS}$  vrednosti približno jednake sa odgovarajućim  $K_{S,JEM}$  vrednostima za  $\beta_W = 0.15$ . Ovaj rezultat jasno pokazuje da LMS algoritam nema sposobnost (snagu) da kompenzira duboke nule u spektru signala. To znači da on nije u stanju da kondicionira korelacionu matricu signala na ulazu u FSE-CMA zbog čega FSE-CMA ne može da izvrši svoj zadatok u okviru Hard-DFE rešenja.

**Test 2: Mek prelazni režim i SER indeks.** Performanse Soft-DFE u mekom prelaznom režimu dominantno determiniše DD-CJEM algoritam. Procena učinka ovog



Sl. 6. Normalizovan kurtosis indeks na izlazu FSE-CMA za Mp-(A,B,C,D,E), SNR=25 dB.

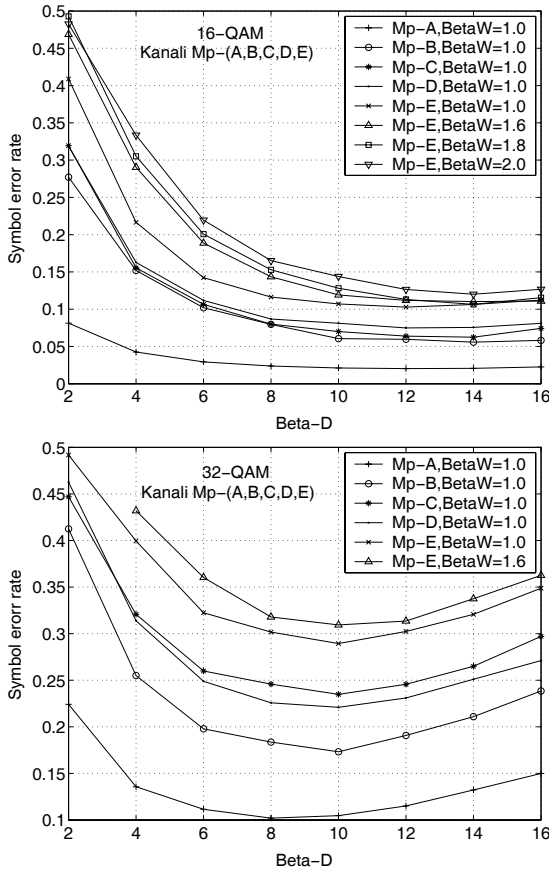
algoritma izvršena je na osnovu uticaja parametra  $\beta_D$  na SER indeks. Prelaz ekvalizatora iz blind u mek prelazni režim karakteriše pojava velikog broja grešaka kao i mogućnost njihove propagacije. Zbog toga je SER indeks dobra mera uticaja parametra  $\beta_D$ . Na slici 7 su prikazane  $SER(\beta_D)$  krive čija je svaka tačka dobijena merenjem broja grešaka u toku 2000 simbolskih intervala i usrednjavanjem ovih rezultata kroz 200 nezavisnih aktivacija ekvalizatora; to odgovara jednom Monte Karlo testu sa 200 prolaza. Praktično, ove krive pokazuju kako DD-CJEM algoritam i njegov parametar  $\beta_D$  utiču na efekte propagacije grešaka. Rezultati ovog testa su pokazali dve bitne karakteristike DD-CJEM algoritma:

1. Performanse algoritma DD-CJEM mogu da se optimiziraju pomoću paarmetra  $\beta_D$ . Optimalne vrednosti parametra  $\beta_D$  odgovaraju minimalnim vrednostima  $SER(\beta_D)$  indeksa i mogu se, nezavisno od kanala, grubo proceniti kao  $\beta_{D,16} = 12$  i  $\beta_{D,32} = 10$  za 16-QAM i 32-QAM signale, respektivno.

2.  $SER(\beta_D)$  krive su skalirane u zavisnosti od primjenjenog kanala, međutim njihov karakter (forma) ne zavisi od primjenjenog kanala već od primjenjenog signala.

**Test 3: MSE konvergencija u zavisnosti od  $\{\beta_W, \beta_D\}$ .**

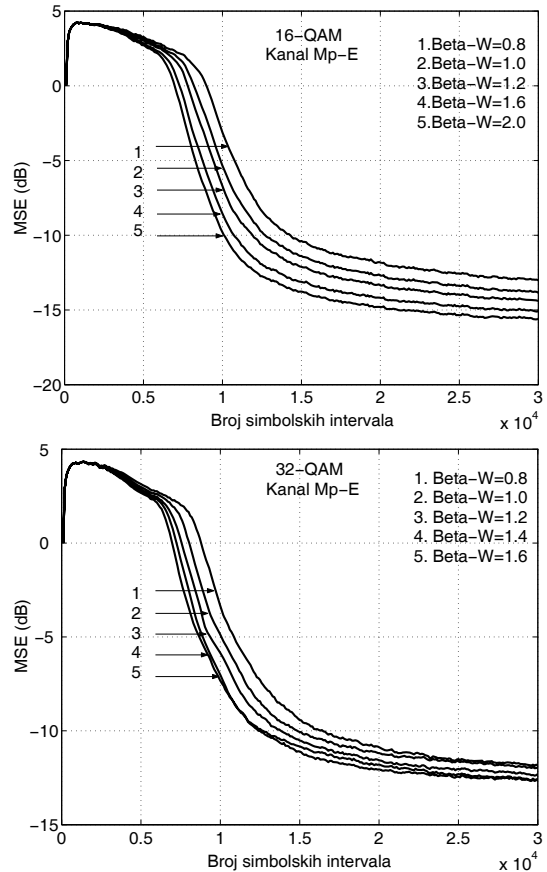
Sada, kada imamo u rukama optimalne vrednosti  $\beta_D$  za razmatrane signale, mi možemo da ostvarimo dublje



Sl. 7. SER indeks u mekom prelaznom režimu za 16-QAM i 32-QAM signale, SNR=25 dB.

sagledavnje uticaja parametra  $\beta_W$  na efektivnu konvergenciju Soft-DFE. Slika 8 prikazuje MSE karakteristike konvergencije za različite vrednosti  $\beta_W$  i fiksne vrednosti  $\beta_D$ ,  $\beta_{D,16} = 12$  i  $\beta_{D,32} = 10$ . Ove krive potvrđuju postepeno poboljšanje obe karakteristike konvergencije, brzine i rezidualne greške, za opseg  $\beta_{W,16} = \{0.8, 2.0\}$  i  $\beta_{W,32} = \{0.8, 1.4\}$  za 16-QAM i 32-QAM, respektivno; opseg za 32-QAM malo je manji zato što  $\beta_W \geq 1.6$  izaziva povećanje rezidualne greške.

U cilju provere uticaja parametra  $\beta_W$ , tj. algoritma CJEM-W na SER indeks u prelaznom režimu, izvršeno je dopunsko snimanje ovog indeksa za nekoliko različitih vrednosti  $\beta_W$  iz opsega  $\{0.8, 2.0\}$ . Ovi rezultati su pokazali da pozicije minimuma SER indeksa ostaju nepromenjene za razmatran opseg vrednosti parametra  $\beta_W$ . Na slici 7, za 32-QAM i kanal Mp-E, treba zapaziti da je vrednost indeksa  $SER(\beta_D) \approx 0.31$  za  $\beta_W = 1.6$ . Ovaj rezultat pokazuje da svako povećanje  $\beta_W > 1.6$  generiše tako velike vrednosti indeksa SER koje degradiraju efektivnu konvergenciju Soft-DFE (vidi sliku 8). Drugim rečima, vrednost  $\beta_W = 1.6$  predstavlja gornju graničnu vrednost za 32-QAM signal. Na ovaj način je završena druga iteracija u proceni korisnog opsega parametra  $\beta_W$  i njegovog uticaja na performanse Soft-DFE ekvalizatora. Dakle, na osnovu ovih rezultata



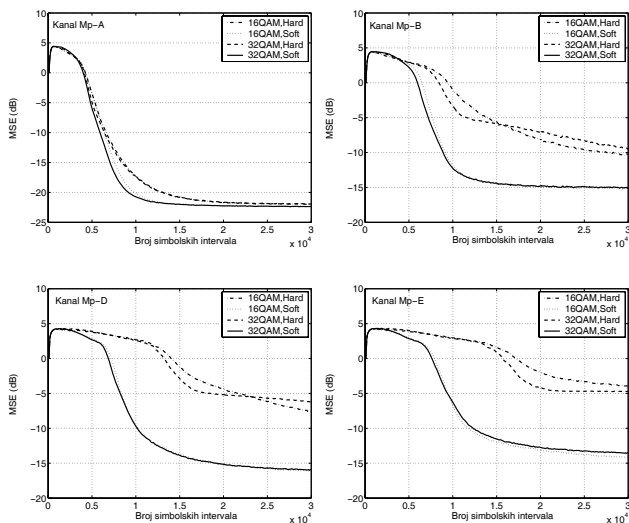
Sl. 8. Soft-DFE sa 16-QAM i 32-QAM: konvergencija MSE u zavisnosti od  $\beta_W$  za  $\beta_{D,16} = 12$  i  $\beta_{D,32} = 10$ , SNR=25 dB.

možemo konstatovati da CJEM-W algoritam ostvaruje optimalne performanse kada parametar  $\beta_W$  uzima vrednosti iz opsega  $\beta_{W,16} = \{1.0, 2.0\}$  i  $\beta_{W,32} = \{1.0, 1.4\}$  za 16-QAM i 32-QAM, respektivno.

Na osnovu prikazanog postupka optimizacije algoritama CJEM-W i DD-CJEM, kao i brojnih testova Soft-DFE šeme, možemo zaključiti sledeće:

1. Algoritam CJEM-W dominantno utiče na performanse ekvalizacije u blind režimu. Pored toga, on ima produžen uticaj na kompletan proces konvergencije ekvalizatora (slika 8). Ovaj produžen uticaj rezultat je delovanja parametra  $\beta_W$  koji, dok traje blind režim, utiče na formiranje efektivne površine performansi ekvalizatora. To znači da globalnu konvergenciju u blind režimu determiniš C-JEM dekorelator i CMA. Za optimizaciju performansi CJEM-W algoritma raspoloživ je relativno širok opseg vrednosti parametra  $\beta_W$  koji ne zavisi od primjenjenog kanala.
2. Algoritam DD-CJEM dominantno utiče na meki prelazni režim i na režim praćenja. Optimizacija DD-CJEM može se izvršiti pomoću parametra  $\beta_D$  na osnovu  $SER(\beta_D)$  kriva. Optimalna vrednost parametra  $\beta_D$  ne zavisi od primjenjenog kanala već samo od primjenjene konstalacije signala.

**Test 4 : Uporedni test konvergencije Soft-DFE i Hard-DFE ekvalizatora.** Rezultati uporednog testa konvergencije dva rešenja ekvalizatora, Soft-DFE i Hard-DFE, prikazani su na slici 9. Na osnovu prethodnog razmatranja optimizacije CJEM algoritama za Soft-DFE, izvršena je sledeća selekcija vrednosti parametra  $\beta$ :  $\beta_W = 1.2$  za 16-QAM i 32-QAM, i  $\beta_{D,16} = 12$  i  $\beta_{D,32} = 10$ . Na osnovu rezultata na slici 9 možemo konstatovati da obe ekvalizatora ostvaruju sličnu konvergenciju u slučaju umerenog kanala Mp-A. Međutim, u slučaju kanala Mp-(D,E) sa ekstremnom ISI, Hard-DFE je potpuno inferioran u odnosu na Soft-DFE.



Sl.9. Uporedni test MSE konvergencije Soft-DFE ( $\beta_W = 1.2$ ,  $\beta_{D,16} = 12$ ,  $\beta_{D,32} = 10$ ) i Hard-DFE ekvalizatora za Mp-(A,B,D,E) i SNR=25 dB. MSE konvergencija za Mp-C je veoma slična sa konvergencijom za Mp-B.

**Komentar eksperimentalnih rezulta u odnosu na B-S neuron.** Menjući  $\beta_D$  u gore opisanim eksperimentima mi podešavamo nagib nelinearnosti  $g(z)$  koja transformiše nepoznatu pdf funkciju ulaznog procesa tako da pdf njenog sopstvenog izlaza postane što je moguće više ravna, tj. teži uniformnoj raspodeli. Povezano sa ovom osobinom SFBF filtra, odnos između optimalnih vrednosti  $\beta_{D,32} < \beta_{D,16}$  ukazuje da ISI koja potiče od 16-QAM signala ima oštriju (*more peaked*) pdf funkciju od odgovarajuće funkcije za 32-QAM. Ovaj rezultat je u saglasnosti sa osobinom neurona da je optimalan nagib nelinearnosti koja maksimizira entropiju obrnuto proporcionalan sa varijansom ulaznog procesa [3].

#### LITERATURA

- [1] Proceedings of the IEEE, *Blind System Identification and Estimation*, Oct., 1998.
- [2] J. Labat, O. Macchi and C. Laot, "Adaptive Decision Feedback Equalization: Can You Skip the Training Period?", IEEE Trans. Commun. vol. 46, pp. 921-930, July, 1998.
- [3] A. J. Bell and T. J. Sejnowski, "An information-maximization approach to blind separation and blind deconvolution," Neural Computation, vol. 7, pp. 1129-1159, 1995.
- [4] J. C. Principe, D. Xu and J. W. Fisher, "Information-Theoretic Learning". In S. Haykin, Ed., *Unsupervised adaptive filtering, Vol I Blind source separation* (pp. 265-320). New York: John Wiley & Sons, Inc., 2000.
- [5] V. R. Krstić, Dotorska disertacija, "Novi algoritmi za adaptivnu ekvalizaciju telekomunikacionog kanala zasnovani na statističkim karakteristikama signala", Elektrotehnički fakultet Univerziteta u Beogradu, 2009.
- [6] S. Marcos, S. Cherif, and M. Jaidane, "Blind cancellation of intersymbol interference in decision feedback equalizers," in Proc. ICASSP'95, pp. 1073-1076, 1995.
- [7] C. B. Papadias and A. J. Paulraj, "Decision-Feedback Equalization and Identification of Linear Channels Using Blind Algorithms of the Bussgang type," Proc. of Asilomar-29, pp. 335-340, 1996.
- [8] L. He, R. Malkemes, C. Reed, and M. G. Amin, "A Comparison of Two Blind Equalization Algorithms for Broadband Indoor Wireless Communications," International Symposium on Signal Processing and its Applications (ISSPA), Malaysia, Aug., pp. 505-508., 2001.
- [9] D. N. Godard, "Self-Recovering Equalization and Carrier Tracking in Two-Dimensional Data Communication Systems," IEEE Trans. Commun. vol. COM-28, pp. 1867-1875, Nov., 1980.
- [10] V. R. Krstić and M. L. Dukić, "Blind DFE With Maximum-Entropy Feedback," IEEE Signal Processing Lett., vol. 16, pp. 26-29, Jan., 2009.
- [11] J. M. Cioffi, G. P. Dudevoir, M. V. Eyuboglu and G. D. Forney, "MMSE Decision-Feedback Equalizers and Coding – Part I: Equalization Results," IEEE Trans. Commun., vol. 43, pp. 2582-2594, Oct., 1995.
- [12] S. Haykin, *Adaptive filter theory*, Fourth Ed., Prentice-Hall, New Jersey, 2002.
- [13] T. Kim and T. Adali, "Approximation by Fully Complex Multilayer Perceptron," Neural Computation, 15, 1641-1666, 2003 The MIT Press.
- [14] Y. Kim and H. S. Shamsunder, "Adaptive Algorithms for Channel Equalization with Soft Decision Feedback," IEEE J. Sel. Areas Commun. vol. 16, pp. 1660-1669, Dec., 1998.
- [15] V. R. Krstić and Z. Petrović, "Complex-Valued Maximum Joint Entropy Algorithm for Blind Decision Feedback Equalizer", In Proc. 8th International Conference on Telecommunications in Modern Satellite Cable and Broadcasting Services (IEEE-TELSIKS 2007), Serbia, pp. 601-604, 2007.
- [16] G. J. Foschini, "Equalizing Without Altering or Detecting Data," AT&T Technical Journal, vol. 64, pp. 1885-1911, Oct., 1985.
- [17] Y. Li and Z. Ding, "Global Convergence of Fractionally Spaced Godard (CMA) Adaptive Equalizers," IEEE Trans. Signal Processing, vol. 44, pp. 818-826, Apr., 1996.
- [18] V. R. Krstić and Z. Petrović, "Decision Feedback Blind Equalizer with Maximum Entropy," In Proc. The international Conference on »Computer as a Tool« (IEEE-EUROCON 2005), Belgrade, Serbia and Montenegro, Nov., 2005.

#### ABSTRACT

This paper presents the most important research results of the blind DFE equalization based on an information theoretic principle. Specially, in this paper we consider the recursive part of the DFE which is, in fact, the maximum-entropy single-unit neuron model of the Bell-Sejnowski class. The performance of a new recursive filter as well as the complete solution of DFE, which is denoted as Soft-DFE, have been evaluated using software simulations of the QAM system with multipath propagation.

#### Blind adaptive equalization: from the neuron of Bell-Sejnowski class to the Soft-DFE solution

Vladimir R. Krstić and Miroslav L. Dukić